

LE THÉORÈME DE LA LIMITE

DOUBLE II

I] Notations, énoncé et idée de preuve.

Not: Σ surface compacte de genre ≥ 2

$$\Gamma = \pi_1(\Sigma)$$

$\phi \in \text{Diff}(\Sigma)$ pseudo-Anosov

m : métrique de référence sur Σ

$$\sigma_i^+ : (\phi^*)^i m$$

$$\sigma_i^- = (\phi^{*i})^{\#} m$$

$\rho_i \in \mathcal{QS}(\Gamma)$ de paramètres de Bers (σ_i^+, σ_i^-)
 $\rightarrow \rho_i$

Rappel: $\sigma_i^+ \xrightarrow{i \rightarrow \infty} \lambda^+ \in \text{PMF}(\Sigma)$ (*Compactification de $\mathcal{S}(\Sigma)^*$)

Si $\gamma \in \Gamma$ tel, alors $\phi_i^i(\gamma) \xrightarrow{i \rightarrow \infty} \lambda^+$ (*Dynamique de Hausdorff).

$$\phi_i^{-i}(\gamma) \xrightarrow{i \rightarrow \infty} \lambda^-$$

Rappel: (Alternative): À extraction près :

Soit ρ_i converge dans $\text{Hom}^{\text{f.d.}}(\Gamma, \text{Isom}^+(\mathbb{H}^3))$

Soit il existe $\varepsilon_i \rightarrow 0$ telle que $(\varepsilon_i \mathbb{H}^3, \rho_i) \rightarrow (T, \rho)$
 au sens de la topologie de Gromov équivariante (Paulin)

Rq: (Skara (Hun)) : Dans le deuxième cas, T est l'arbre dual d'une lamination mesurée λ : $T = T_\lambda$.

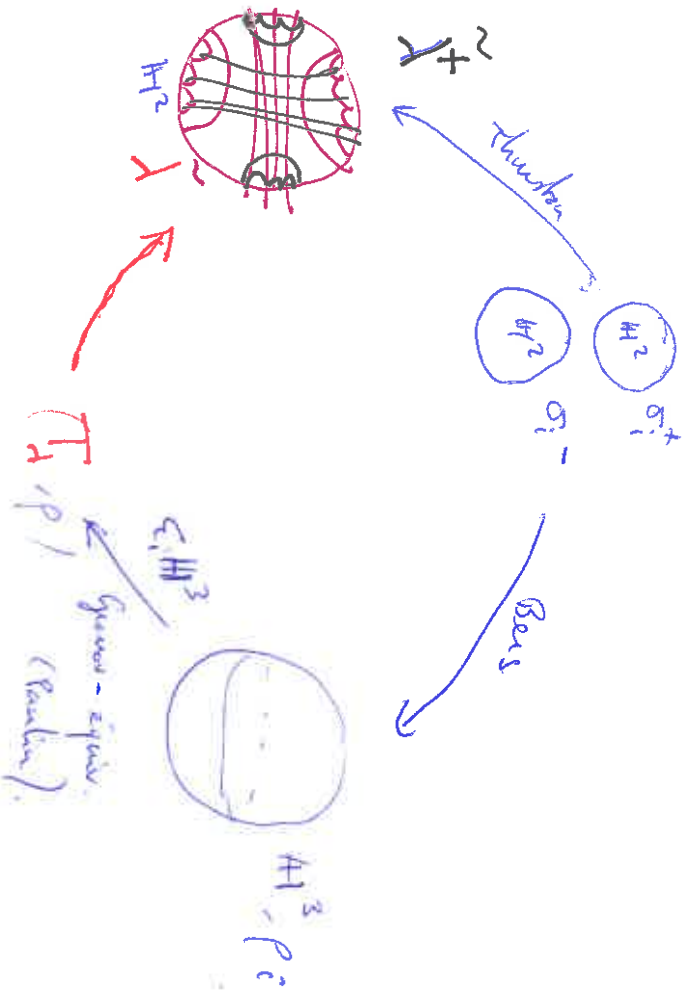
Thm (Lemme double (* version simplifiée *)) :

On voit ^{pas} dans la ~~première~~ deuxième cas.

Stratégie : On raisonne par l'absurde : On suppose qu'il existe

$$\varepsilon_i \rightarrow 0 \text{ telle que } (\varepsilon_i H^3, \rho_i) \xrightarrow{\text{Rankin}} (T_\lambda, \rho).$$

$$(\text{H}) \lambda^+ \mu \lambda$$



- Un élément de T est déplacement non nul dans T_λ déplace beaucoup dans H^3 (esp. non nul dans $\varepsilon_i H^3$).

- Si μ est proche de λ^+ , alors μ déplace beaucoup dans H^3 .

- On choisit une suite (γ_i^+) de T telle que $\gamma_i^+ \rightarrow \lambda^+$

$$\text{On a : } \frac{\varepsilon_i(\gamma_i^+)}{L_n(\gamma_i^+)} \xrightarrow{i \rightarrow \infty} 0$$

$$\text{Après le lemme d'AMFors, } \varepsilon_i \rho_i(\gamma_i^+) \xrightarrow{i \rightarrow \infty} 0$$

(* Pour obtenir une contradiction, on cherche ~~à~~ trouver unif. les déplacements des $\rho_i(\gamma_i^+)$ *)

II) Réalisation de lamination et réseaux feuilletés

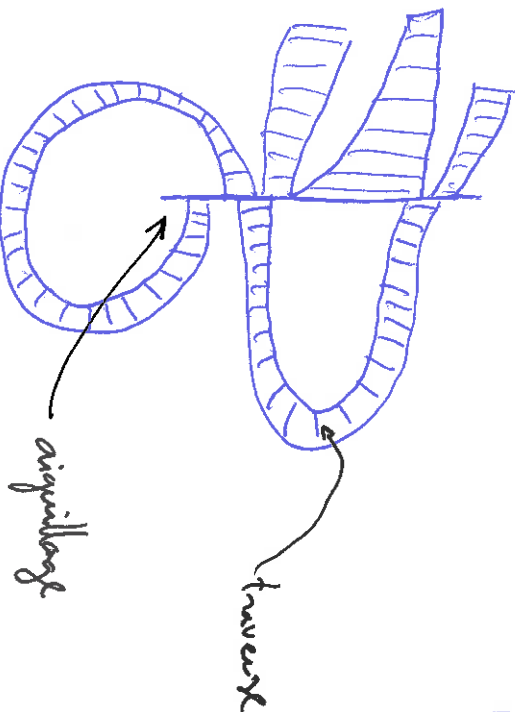
Def: Une lamination μ est réalisée dans T_1 s'il existe $f: \tilde{\mu} \rightarrow T_1$ continue, Γ -équivariante et injective sur chaque feuille de $\tilde{\mu}$.

Rappel: L'application quotient $f: \mathbb{H}^2 \rightarrow T_1$ est Γ -équivariante monotone, et non constante sur les feuilles de $\tilde{\mu}$.

④ μ lamination géod. non. arbitraire (pour simplifier). traverse à h .

But: Réaliser μ et les géodésiques propres de μ , dans T_1 .

Def: Un réseau feuilleté \mathcal{R} dans Σ est une ^{réunion} feuille μ -fine de rectangles plongés dans Σ ; $R_i = \text{Im}([0,1] \times [0,1] \rightarrow \Sigma)$ qui s'intersectent au plus sur des segments de leur côté verticaux et tels que toute comp. connexe réunion de côtés verticaux est un arc plongé. Un tel arc est appelé aiguillage.
(+ traverses)

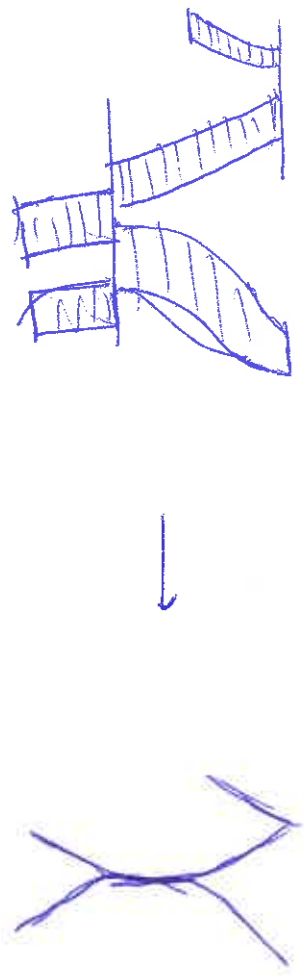


def: Une lamination géod. μ est patée par \mathcal{R} si $\mu \subseteq \mathcal{R}$ et chaque feuille de μ est traversée aux traverses des rectangles de \mathcal{R} .

Rq : \mathcal{R} se relève en un réseau feuilleté $\tilde{\mathcal{R}}$ sur H^2 .

$\tilde{\mathcal{R}}$ est Γ -équivalent.

Def : \mathcal{R} est réalisé dans T_λ s'il existe $f: \tilde{\mathcal{R}} \rightarrow T_\lambda$, Γ -équivalente, constante sur les traverses et monodrome sur tout arc transverse aux traverses.



Rq : monodrome + non cte \leftarrow injectif (* ne cte avec *)

• Si μ est portée par \mathcal{R} et \mathcal{R} est réalisé dans T_λ , alors μ est réalisée dans T_λ . Rq plus,

• ~~Il~~ existe un voisinage $U(\mu)$ de μ dans $\mathcal{PMF}(\Sigma)$ tel que toute lamination $\mu' \in U(\mu)$ est portée par \mathcal{R} .

Thm : μ est réalisée dans T_λ

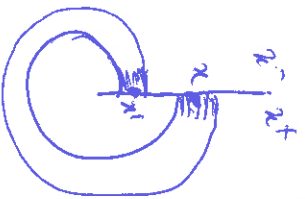
deux : On va construire un réseau feuilleté \mathcal{R} portant μ et qui est réalisé dans T_λ

Soit \mathcal{K} : "petit" arc dans une feuille de λ .

~~\mathcal{K}~~ : \mathcal{K} intersecte une infinité de fois toutes les deux-feuilles de μ .

- Soit $t_0 > 0$ tel que $t \in \mathcal{K}$, $v(t) > t_0$ ont des images distinctes de celles de v par $f: \tilde{y} \rightarrow T_1$
- Quitte à restreindre \mathcal{K} , ODS que le 1^{er} temps de retour de toute feuille est $> t_0$.

• Au voisinage de chaque $x \in \mathcal{K}$, on construit un intervalle I_x^+ qui est envoyé en un intervalle $I_{x'}^+$, en suivant les feuilles de γ .



On peut compléter I_x^+ , $I_{x'}^+$ en un rectangle plongé de bords adjoints de γ (structure de Carter \times).

→ ~~on construit~~ On peut fabriquer des traverses

→ I_n^+ , I_n^-

• Par compacité, on peut extraire une feuille fixe de rectangles tels que I_n^+ , I_n^- recouvrent les deux côtés de \mathcal{K} .

• Quitte à regrouper ou diviser des rectangles, on obtient un réseau feuilleté qui porte μ et qui est réalisé dans T_1 (sans la lips de retour soit $> t_0$).

□

Eq: ce réseau a un seul aiguillage.

III] S -réalisation dans \mathbb{H}^3 et fin de la preuve.

Thm (4.04): Soit $N > 0$. Alors il existe un voisinage $\mathcal{V}(\mu)$ de μ dans $\text{SMR}(\Sigma)$ tel que, pour toute géod. $\mu' \in \mathcal{V}(\mu)$ et tout i assez grand, on ait

$$\frac{L_i(\mu')}{L_n(\mu')} \geq N.$$

Preuve (* On aboutit à une contradiction si on suppose ce thm. \neq).

- S -réaliser un réseau feuilleté par défaut μ dans \mathbb{H}^3 .
- Arguments de géométrie hyperbolique pour montrer inf. $L_i(\mu')$.

Def: Soit $S > 0$. Une S -réalisation de \mathcal{R} dans (\mathbb{H}^3, p_i) est une application continue, Γ -équivariante, continue sur la traversée $f: \tilde{\mathcal{R}} \rightarrow \mathbb{H}^3$ telle que:

- f est S -quasi-conforme. L'image d'un arc traversant aux traverses dans \mathcal{R}_i est une géod. S -quasi-convexe non triviale.

• Si $\mathcal{R}_i, \mathcal{R}_j$ sont deux rectangles de deux côtés opposés d'un arpillage, alors $f(\mathcal{R}_i)$ et $f(\mathcal{R}_j)$ forment un angle dans $[\frac{\pi}{2} - S, \pi]$.



(* En deux temps *). Fixons $\epsilon > 0$ et $S > 0$.

1^{ère} tentative: S -réaliser \mathcal{R} :

Rappel: On a construit une réalisation $f: \tilde{\mathcal{R}} \rightarrow T_\lambda$ à 1 mail arpillagé \mathcal{R} .

$$f(\tilde{\mathcal{R}}) = \mathcal{R} \in T_\lambda$$

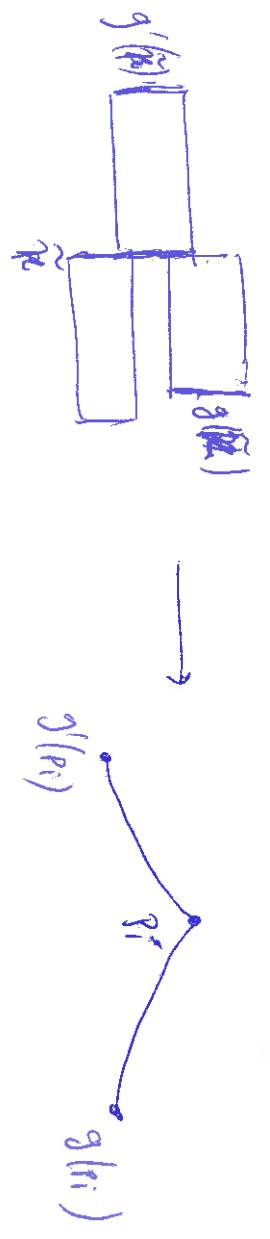
Nbt: $f_g = \{ g \in \Gamma \mid \exists R_i \text{ rectangle de } \tilde{R} : R_i \cap \tilde{\alpha} \text{ de } g(R_i) \cap \tilde{\alpha} \neq \emptyset \}$
 • f_g est fini et a des éléments 'positifs' et 'négatifs'.

Eq: $(\varepsilon; \mathbb{H}^3) \xrightarrow[\text{Realis.}]{g, g'} (T_x, \rho)$

Il existe, pour ε assez grand, $R_i \in \mathbb{H}^3$ tel que

$|\Delta_i(g(R_i), g'(R_i)) - \Delta_{T_x}(g(R_i), g'(R_i))| < \varepsilon$

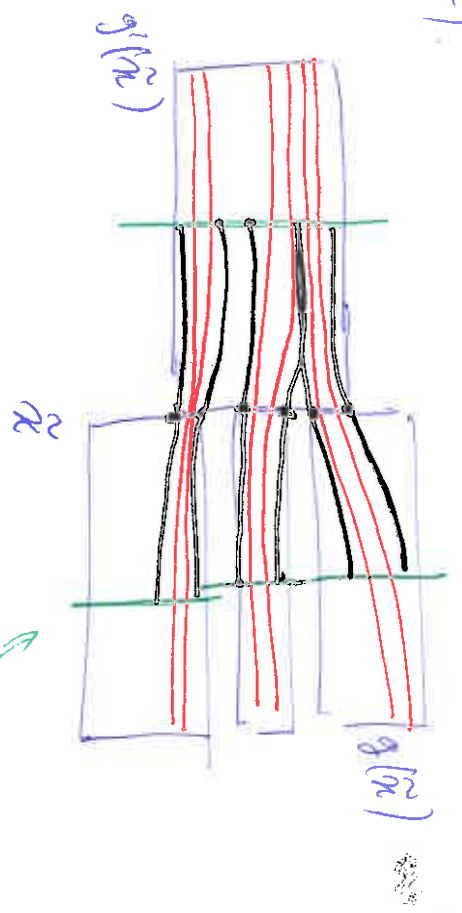
$\forall g, g' \in f_g$



(* Pas une S -réalisation a priori *)

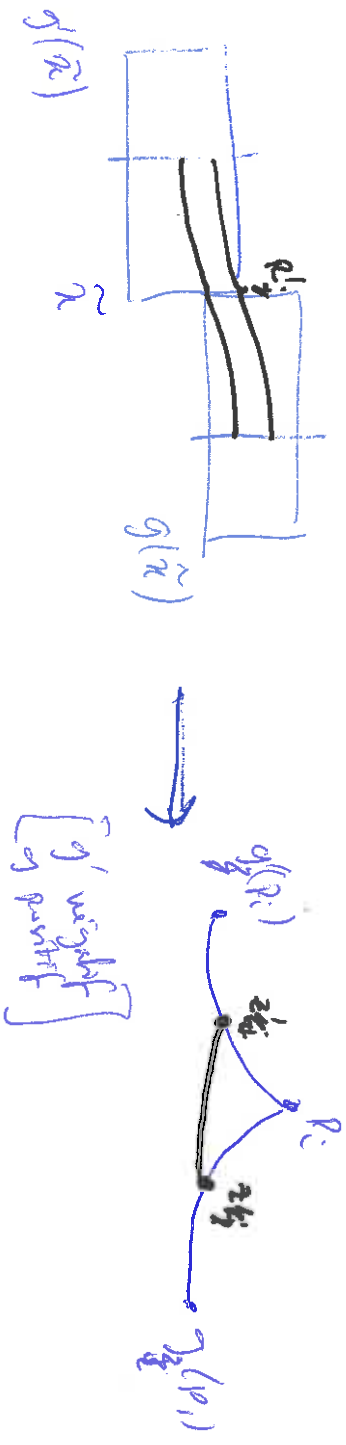
2ème fonction: Réussite réalisation.

def: (Première réalisation de R) : R' : réseau première (s'inscrit)



→ nouveaux arêtes
 " traverses médianes

On construit $F: \tilde{R}' \rightarrow (H^3, \rho_i)$



(* On va montrer F est une S-réalisation de R' pour i assez grand)

Ask: $m = \inf \{ |g'(p, q(p))| \mid p, q \in R_i \}$

(*) $10 \varepsilon \leq m$.

Rq Pour i assez grand, $(g'(R_i), g(p_i))$ est le plus long côté du triangle $(g'(R_i), R_i, g(p_i))$ et les trois longueurs de D tendent vers ∞ quand $i \rightarrow \infty$. $AB \geq \frac{9\varepsilon}{\varepsilon_i}$ ($m \geq 10\varepsilon$).

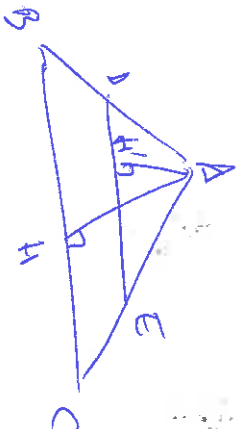


Rq: $H \in [BC]$, $AB + AC - BC \leq 3\varepsilon$ (*) (GV de Gromov-0'g)

Lemme $\exists k \in \mathbb{R}^+$ Pour tout triangle rectangle $\Delta B H A$ on a, $|AH + BH - AB| \leq k$ avec 3 pts alignés

prop des angles $\widehat{AD\epsilon}$ et $\widehat{A\epsilon D}$ tendent vers 0 quand $i \rightarrow \infty$
 $\forall \eta > 0$ existe $m' > 0$ tel que $D\epsilon \geq m'$ pour i assez grand.
 ($m' = m'_3$ constant)

lem: a) On a $|BC + AB - AC| = 2AH + O(\epsilon)$



$$2AH \leq \frac{4\epsilon}{\epsilon_i} \leq \frac{1}{2} \min(AB, AC)$$

(pour ϵ assez petit)
(*)

$$\leq \min(AD, AC)$$

Donc $AH' \leq \frac{1}{2} \min(AD, AC)$ ~~les deux sont~~

$$\rightarrow \text{sin des angles min } ADH' \rightarrow \sin(\widehat{ADH}') = \frac{\sin(\widehat{AH'})}{\sin(AD)} \rightarrow 0$$

b) Sin le triangle ADH' :

$$DH' \geq AD - AH' \geq \frac{1}{2} AD \geq \frac{m-\epsilon}{4\epsilon_i}$$

$$\text{d'où } DE \geq \frac{m-\epsilon}{2} \geq \frac{m}{3\epsilon_i}$$

□

cc:

prop: (4.14): Pour tout $\delta \in]0, \pi[$ et Pour ϵ assez grand,

• F_δ est une S. métrisable de \mathbb{R}^1

• Il existe $m > 0$ tel que les longueurs des segments géodésiques

$$\text{de } F_\delta(\mathbb{R}^1) \text{ sont toutes } > \frac{m}{\epsilon_i}$$

Fin de la preuve de la lemme double :

, Il existe un voisinage $\mathcal{V}(\mu)$ de μ tel que toute géodésique

$\mu' \in \mathcal{V}(\mu)$ est portée par \mathbb{R}^1 .

• Si $\mu = \delta^+$, γ_i^+ est portée par \mathcal{R}^1 pour i assez grand.

(*) On va comparer $\mathcal{L}(\mu^1)$ à $\mathcal{L}(\overline{F}_i^*(\mu^1) +)$.

Les γ_i^+ sont $\mu \in \mathcal{U}(\mu^1)$. On a:

$$\mathcal{L}_{\mu^1}(\overline{F}_i^*(\mu^1)) = \sum_j c_j(\mu^1) \varepsilon_j^i$$

et de passage dans \mathcal{R}_j longueur de \mathcal{R}_j

Fait 1: • $F_i^*(\mu^1)$ est une géodésique brisée de segments de longueur $\geq m^1$ et angle $\in]\pi - \delta, \pi[$.

Si δ est assez petit, $F_i^*(\mu^1)$ est homotope à $\overline{F}_i^*(\mu^1)$ et il existe $\eta > 0$, uniforme, s.t. $\mathcal{L}(\overline{F}_i^*(\mu^1)) \geq \eta \mathcal{L}(F_i^*(\mu^1))$.

$$\mathcal{L}_i(\mu^1) \geq \frac{\eta}{m^1} \mathcal{L}(F_i^*(\mu^1)) \geq \frac{\eta}{m^1} \sum_j c_j(\mu^1) \frac{m^1}{\varepsilon_j}$$

$$\geq \frac{c_{j_0}}{\varepsilon_{j_0}} \mathcal{L}_i(\mu^1)$$

□